

## ساخت و بررسی ویژگی‌های ساختاری، نوری و فتوکاتالیزوری نانوکامپوزیت‌های $BiFeO_3 / BFO$ اکسید گرافن کاهش یافته

فاطمه نوری، احمد قلیزاده\*

دانشکده فیزیک، دانشگاه دامغان، دامغان، ایران

(دریافت مقاله: ۹۸/۵/۱۲، نسخه نهایی: ۹۸/۸/۲۷)

چکیده: در این پژوهش، نانوکامپوزیت‌های  $BiFeO_3 / BFO$  اکسید گرافن کاهش یافته ( $BFO / RGO$ ) با ورود  $RGO$  در ساختار نانوذرات  $BFO$  به روش فراصوتی کوتاه مدت تهیه شدند. بررسی الگوهای پراش پرتو  $X$  و طیفسنجی فروسرخ تبدیل فوریه نشان می‌دهد که کامپوزیت  $BFO / RGO$  با موفقیت سنتز شده است. جذب پرتوهای  $UV-Vis$  نشان می‌دهد که ورود  $RGO$  می‌تواند به طور موثری بازترکیب جفت‌های الکترون و حفره تولید شده در  $BFO$  را کاهش دهد و همچنین کامپوزیت‌های  $BFO / RGO$  دارای گاف انرژی کمتری نسبت به مقدار ۱/۹۷ الکترون ولت برای  $BFO$  هستند. نانوکامپوزیت‌های  $BFO / RG$  عملکرد فتوکاتالیزوری با ثباتی دارند و توانایی فتوکاتالیزوری در تابش نور مرئی برای تخریب محلول آبی متیل اورانز بسیار بالاتری از  $BFO$  اولیه نشان می‌دهند. سرانجام، سازوکار احتمالی برای عملکرد فتوکاتالیزوری بهتر نانوکامپوزیت  $BFO / RGO$  بررسی شده است.

واژه‌های کلیدی: نانوکامپوزیت؛ اکسید گرافن کاهش یافته؛ فریت بیسموت؛ ویژگی‌های ساختاری و نوری؛ فعالیت فتوکاتالیزوری

در یکفاز دارا هستند. با این حال، تعریف چندفرویی‌ها به نظم‌های بلندبرد دیگر مانند پادفرومغناطیس نیز گسترش یافته است. بنابراین هر ماده‌ای که بیش از یکی از این ویژگی‌ها را باهم داشته باشد چندفرویی نامیده می‌شود. امروزه چندفرویی بودن بیشتر به ترکیب فروالکتریک و مغناطیس (فرومغناطیس، پادفرومغناطیس) در یک ماده اشاره دارد [۵، ۶]. فریت بیسموت  $BiFeO_3$  از چند فرویی‌های با همزیستی هم‌زمان پادفرومغناطیس و فروالکتریک در دمای اتاق است که ساختار پروسکایت لوزی‌رخ را نشان می‌دهد. نظام پادفرومغناطیس را با دمای نیل ( $T_N$ ) حدود  $370^\circ C$  و ویژگی‌های فروالکتریک را با دمای کوری ( $T_C$ ) بالا حدود  $830^\circ C$  است [۷، ۸].

گرافن ورقه‌ای دو بعدی از اتم‌های کربن با اتصال  $sp^2$  در

### مقدمه

مشکل عمده صنایع تولید رنگ‌های صنعتی سمی است که با گذر زمان محیط زیزور را تخریب می‌کنند. به دلیل اهمیت این موضوع، فتوکاتالیزورهایی سنتز می‌شوند تا پیش از ورود این آلودگی‌ها به محیط‌های آبی آن‌ها را تصفیه کرده و اثر منفی آن‌ها را کاهش دهند. امروزه بررسی تخریب ترکیب‌های رنگی توسط نیمرسانانها به عنوان فتوکاتالیزورها بسیار اهمیت دارد [۱، ۲]. گاهی این فتوکاتالیزورها خود به تنها یک قادر به تخریب شدید ترکیب‌های رنگی نیستند. از این رو، تقویت کننده‌هایی به آن‌ها اضافه می‌شوند که می‌توانند درصد تخریب را بسیار افزایش دهند [۳، ۴].

مواد چندفرویی دو یا چند ویژگی فروی (مانند فروالکتریک، فرومغناطیس، فروالاستیک و فروتروئید) [۱، ۲-۵] را

مرحله‌ای و به طور همزمان با ترکیب همه پیش‌ماده‌های مربوط به  $BFO$  و  $GO$  در فرایند ساخت تهیه شده اند و سرانجام با گرمادهی و خشک کردن به کامپوزیت  $BFO / RGO$  تبدیل شده‌اند. در برخی گزارش‌ها، نخست فرایند گرمادهی  $GO$  به  $RGO$  با گاف نواری کوچکتر  $1/7\text{ eV}$  انجام شده و سرانجام تک نمونه کامپوزیت  $BFO / RGO$  طی فرایند دومرحله‌ای تهیه شده است. اما در این پژوهش، نمونه‌های  $GO$  با گاف‌های نواری و رسانندگی متفاوت طی فرایند گرمادهی تهیه شده و در ادامه طی یک فرایند دومرحله‌ای چندین نمونه کامپوزیت  $BFO / RGO$  تهیه شدند. اثر گاف‌های نواری و رسانندگی‌های متفاوت نمونه‌های  $GO$  بر فعالیت فتوکاتالیزوری کامپوزیت  $BFO / RGO$  در تخریب مواد رنگی بررسی شد.

### روش پژوهش تهیه نانوپودر فریت بیسیمومت

در این پژوهش، نخست محلولی از نیترات‌های مواد اولیه با نسبت مول نیترات به اسیدسیتریک ۱:۱ آماده شد. نانوذرات  $BFO$  با استفاده از  $645\text{--}640\text{--}0.5\text{H}_2O$  گرم نیترات بیسیمومت (*III*) پنج آبه  $Bi(NO_3)_3$ ،  $0.775\text{H}_2O$  گرم نیترات آهن (*III*) نه آبه  $Fe(NO_3)_3$  اسیدسیتریک و اسید نیتریک به روش سیترات نیترات تهیه شدند [۱۲-۱۴]. برای این کار، نخست نیترات بیسیمومت با ۵ سی سی اسید نیتریک غلیظ به مدت ۱ ساعت با همزن مغناطیسی هم زده شد تا محلول کاملاً شفاف شود. به طور جداگانه، نیترات آهن و اسیدسیتریک با آب یون‌زدایی حل شد. سپس محلول نیترات بیسیمومت و نیترات آهن به آرامی به اسیدسیتریک اضافه شده و به مدت ۲۰ دقیقه روی همزن مغناطیسی قرار داده شد تا محلول کاملاً شفافی به دست آید. در ادامه، این محلول به مدت ۱۸ ساعت درون گرمکن در دمای  $80^\circ\text{C}$  خشک شد. پس از آن، فراورده برای کلسینه شدن در کوره  $120^\circ\text{C}$  برای ۲ گرمادهی شد و برای پخت نهایی به مدت ۳ ساعت در کوره در دمای  $650^\circ\text{C}$  قرارداده شد.

### تهیه صفحات اکسید گرافن

نانوصفحات اکسید گرافن،  $GO$ ، به روش بهبودیافته سنتز شدند [۱۳-۱۰]. به این منظور، ۳ گرم از پودر گرافیت با  $18\text{ g}$  پودر پرمنگنات پتاسیم (۶:۱) به مخلوط غلیظی از  $360\text{ mL}$  لیتر  $H_3PO_4$  و  $40\text{ mL}$  لیتر  $H_2SO_4$  با نسبت مولی  $1:9$  اضافه شد. هم‌زمان با اضافه کردن گرافیت و پرمنگنات پتاسیم، دمای اسید تا  $60^\circ\text{C}$  افزایش یافت. سپس، محلول به مدت ۱۲ ساعت

وضعیتی قرار می‌گیرند که شبکه‌ای از شش‌ضلعی‌های منتظم را در حالت آرمانی ایجاد می‌کنند و هر اتم کربن با ۳ اتم کربن دیگر پیوند دارد [۹]. در این حالت، طول پیوند کربن-کربن در گرافن حدود  $0.142\text{ nm}$  است. گرافن با گاف نواری صفر دارای مقاومت الکترونی حدود  $10^{-6}\text{ A}$  همسانتیمتر، چگالی جریان بالا و تحرک پذیری الکترونی بسیار بالا در دمای اتاق است. افزون بر این، گرافن ویژگی‌های مکانیکی، نوری، گرمایی و الکتروشیمیایی بی‌مانند، تراپرد هوایی، بی‌اثر بودن از نظر شیمیایی، رسانندگی گرمایی بالا، عبور نوری و آب‌گیری بسیار بالا در مقیاس نانو دارد [۱۰]. اکسید گرافن در ساختار بلوئی شش‌گوشی شکل می‌گیرد و به دلیل وجود گروه‌های اکسیژنی بر صفحات آن و به هم ریختن ساختار اصلی گرافنی، از ویژگی‌های اصلی گرافن مانند رسانایی (الکتریکی-گرمایی) خوبی برخوردار نیست. البته به دلیل وجود گروه‌های اکسیژنی، اکسید گرافن توانایی برهم‌کنشی بهتری با مواد دارد و همچنین از زیست‌سازگاری بهتری برخوردار است. حضور گروه‌های عاملی در دو طرف صفحه و لبه‌های اکسید گرافن، موجب ویژگی آب‌دوستی و انحلال خوب این ماده در آب و حللاهای آلی می‌شود [۱۱].

سنتز گرافن بسیار پرهزینه و سخت است؛ از این رو برای نزدیکی ساختار اکسید گرافن به گرافن، روش‌های مختلفی برای کاهش اکسید گرافن و تبدیل آن به گرافن وجود دارد [۹]. در این پژوهش، نخست اکسید گرافن به روش بهبود یافته تهیه شد و در ادامه در دمایهای  $150^\circ\text{C}$ ،  $200^\circ\text{C}$  و  $400^\circ\text{C}$  در جریان گاز مونواکسید کربن ( $CO$ ) قرار گرفت. به این ترتیب، نمونه‌های اکسید گرافن کاهش یافته در سه دمای مختلف تهیه شد که با توجه به نتایج بدست آمده، نمونه کاهش یافته در دمای  $400^\circ\text{C}$  با توجه به مقدار گاف نواری انرژی پایین‌تر، بهتر کاهش یافته است. با توجه به اهمیت اکسید گرافن و اکسید گرافن کاهش یافته به عنوان تقویت‌کننده بی‌مانند و فریت بیسیمومت به عنوان یک پایه با ویژگی‌های نادر، از این دو ماده ارزشمند در ساخت نانوکامپوزیت‌های مورد استفاده در تخریب ترکیب رنگی متیل اورانث استفاده شده است. این کار می‌تواند بینش بهتری در زمینه طراحی فتوکاتالیزور پیشرفت‌هه برای تصفیه فاضلاب و حفاظت از محیط زیست ارائه دهد. با وجود چند پژوهش انجام شده پیرامون فعالیت فتوکاتالیزوری کامپوزیت  $BFO / RGO$ ، اما این کار دارای نوآوری‌های است؛ کامپوزیت‌های  $BFO / RGO$  در برخی مقالات به صورت تک-

های لورنتسی و گاووسی هستند. درروش هالدر - واگنر، اندازه بلورک و میکرو کرنش شبکه از رابطه زیر به دست می‌آید [۱۵]:

$$\left( \frac{\beta_{hkl}^*}{d^*} \right)_2 = \left( \frac{1}{D} \right) \left( \frac{\beta_{hkl}^*}{d^{*2}} \right) + \left( \frac{\varepsilon}{2} \right)^2 \quad (2)$$

که در آن،  $d^* = \sin \theta / \lambda$  و  $\beta_{hkl}^* = \beta_{hkl} \cos \theta / \lambda$  هستند.

$$\left( \frac{\beta_{hkl}^*}{d^{*2}} \right)_2 = \left( \frac{\beta_{hkl}^*}{d^*} \right)^2 \quad (\text{محور } x)$$

(محور  $x$ ) برای شدیدترین قله‌های صفحات  $hkl$  رسم می‌شود. اندازه متوسط بلورک‌ها از وارون شیب برازش خطی و میکروکرنش از ریشه عرض از مبدأ به دست می‌آید [۱۵].

طیف فروسرخ نمونه‌ها با دستگاه  $FT-IR$  پرکین-المر مدل  $RXI$  در گستره عدد موجی  $4000 - 1000 \text{ cm}^{-1}$  از قرص‌های تهیه شده از افزودن مقدار کافی از نمونه به  $KBr$  و اعمال فشار ۱۰ تن توسط دستگاه پرس ثبت شد.

برای بررسی ویژگی‌های نوری نمونه‌ها، از طیف جذبی این نانو ذرات ثبت شده به وسیله‌ی طیفسنج  $UV-Vis$  مدل  $UNICO 4802$  در ناحیه فرابنفش استفاده شد. برای محاسبه انرژی گاف نمونه‌ها که از نوع مستقیم است، از برونویابی قسمت خطی نمودار  $(ahv)^2$  (برحسب  $hv$ ) استفاده می‌شود که  $-hv$  است -  $hv$  فوتون برحسب الکترون‌ولت و  $a$  ضریب جذب است [۱۷].

برای انجام آزمون فتوکاتالیزوری با توجه به طیف جذبی نانوکامپوزیت‌ها، تخریب ( $D$ ) و درصد تخریب ( $PD$ ) مตیل اورانژ به وسیله‌ی کاتالیزور موردنظر را روابط زیر به دست آمد [۲، ۱]:

$$D = (A_o / A_t) \quad (3)$$

$$PD = \left( \frac{A_o - A_t}{A_t} \right) \times 100 \quad (4)$$

که  $A_0$  مقدار جذب اولیه‌ی محلول متیل اورانژ و  $A_t$  جذب پس از اضافه شدن کاتالیزور در زمان‌های مختلف است.

### بحث و بررسی

#### نتایج ساختاری روی نمونه‌های $GO/RGO$

در الگوهای  $XRD$  نمونه‌های  $GO$  و  $RGO$  (شکل ۱)، یک قله پراشی پهن شدید ( $100\text{--}200^\circ$ ) و یک قله پهن ضعیف ( $100^\circ$ ) دیده می‌شود که پیشتر نیز گزارش شده‌اند [۹]. در اینجا برای نمونه  $GO$  قله ( $100^\circ$ ) در  $2\theta = 94^\circ$  و قله ( $100^\circ$ ) در زاویه

توضیح همزن مغناطیسی هم زده شده و دمای آن در  $50^\circ C$  ثابت نگهداشته شد. سپس محلول به دست آمده تا دمای اتاق سرد شده و  $400$  میلی‌لیتر بخ (تهیه شده با آب یون‌زادی شده) و  $3$  میلی‌لیتر آب اکسیژن به آن اضافه و به مدت نیم ساعت توسط همزن مغناطیسی مخلوط شد. محلول به دست آمده طی چند مرحله بی‌دریبی توسط  $200$  میلی‌لیتر آب و اسید هیدروکلردریک و اتانول شست و شو داده شد و سپس برای  $10$  دقیقه با آهنگ  $4000$  دور بر دقیقه سانتریفیوژ شد. ژل به دست آمده با  $200$  میلی‌لیتر دی متیل اتر لخته شده و به مدت  $24$  ساعت در دمای اتاق زیر خلاً خشک شد.

#### تهیه اکسید گرافن کاهش‌یافته

اکسید گرافن به منظور کاهش گاف نواری، برای  $4$  ساعت در دماهای مختلف  $150^\circ C$ ،  $200^\circ C$  و  $400^\circ C$  در معرض شارش گاز  $CO$  قرار داده شد [۹].

#### تهیه نانوکامپوزیت‌های $BFO-GO9/RGO9$

به منظور تولید نانوکامپوزیت‌های  $BFO-GO / RGO$ ، مقادیر  $BFO$  و  $9$  درصد وزنی از  $GO$ ،  $RGO(150^\circ C)$  و  $RGO(200^\circ C)$  در  $5$  میلی‌لیتر اتانول بر همزن مغناطیسی به طور جداگانه حل شده و سپس برای مدت  $20$  دقیقه، در معرض امواج فرماحتی قرار داده شدند. پس از مخلوط کردن محلول‌های  $BFO$  و محلول‌های  $RGO/GO$ ، مخلوط‌های به دست آمده برای  $30$  دقیقه در دستگاه فرماحتی قرار داده شده و در پایان به مدت  $3$  ساعت در گرمکن در دمای  $90^\circ C$  خشک شدند.

#### مشخصه‌یابی نانوکامپوزیت‌های $BFO-GO9/RGO9$

الگوی پراش پرتو  $X$  ( $XRD$ ) نانوکامپوزیت‌های پودری با استفاده از طیفسنج پرتوایکس مدل  $Advanced-D8$  شرکت  $Bruker$  موجود در آزمایشگاه تحقیقاتی حالت جامد دانشگاه دامغان، با تابش  $Cu-K\alpha$  با طول موج  $1.5404 \text{ \AA}$  در گستره زاویه‌ای  $2\theta = 5\text{--}80^\circ$  با اندازه گام  $0.04^\circ$  و زمان رویش گام  $15$  در دمای اتاق ثبت شدند. برای بررسی فاز مواد سنتز شده، الگوهای پراشی نمونه‌ها با استفاده از نرم‌افزار  $X-pert$  تفسیر شدند. اندازه متوسط بلورک‌ها ( $D$ ) و میکرو کرنش ( $\varepsilon$ ) بر اساس پهنه‌ای قله‌های  $XRD$  در نیم ارتفاع بیشینه،  $\beta_{hkl}$ ، با استفاده از روش هالدر-واگنر ( $H-W$ ) محاسبه شد. این روش تقریب زیر را ارائه می‌دهد [۱۶، ۱۵]:

$$\beta_{hkl}^2 = \beta_L \beta_{hkl} + \beta_G^2 \quad (1)$$

که در آن  $\beta_L$  و  $\beta_G$  و به ترتیب پهن‌شدگی وابسته به توزیع-

$$c = \frac{\lambda}{S \sin \theta} \quad (7)$$

که  $\lambda$  طول موج تابش  $Cu-K\alpha$  دستگاه پراش پرتوی  $X$  و برابر با  $1,5404\text{ \AA}$  است. مقادیر به دست آمده برای پارامترهای ياخته  $a$ ،  $c$  در جدول ۱ آورده شده است. دیده می شود که  $c$  به تدریج با افزایش دمای گرمادهی، کاهش می یابند. این رفتار می تواند به دلیل حذف مولکول های آب و گروه های در بردارنده اکسیژن مانند اپوکسی، هیدروکسیل، کربونیل و کربوکسیلیک بین لایه های کربن  $GO$  باشد [۲۰-۱۸].

#### نتایج نوری صفحات $GO/RGO$

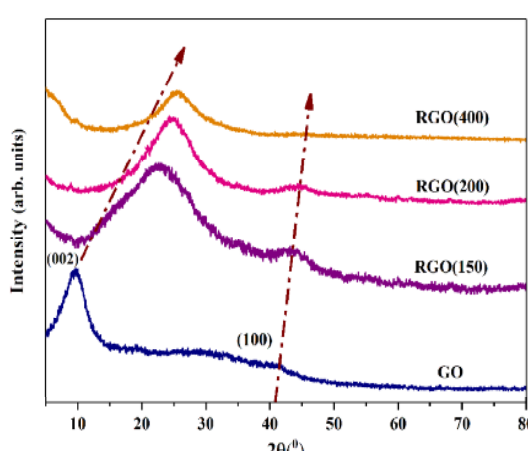
شکل ۲ نمودار مربوط به محاسبه ی گاف انرژی ( $E_g$ ) نمونه های  $GO/RGO$  با استفاده از قانون تاک را نشان می دهد. چنان که در شکل ۲ و جدول ۱ دیده می شود، اکسید گرافن دارای گاف انرژی با پهنه  $V_{0.0} eV$  است. برای کنترل انرژی گاف نواری در اکسید گرافن، عملیات کاهش اکسید گرافن با گاز مونو اکسید کربن و در شرایط مختلف مورد آزمون قرار گرفت. چنان که در شکل ۲ و جدول ۱ دیده می شود، مقادیر گاف انرژی نمونه ها با افزایش دمای کاهش  $GO$  کاهش یافته است. کاهش گاف نوار انرژی نشان دهنده از بین رفت ن گروه های عاملی اکسیژن برای تشکیل ساختار گرافن است [۹].

$2\theta = 42^\circ / 42^\circ$  آشکار شده است. به دلیل کاهش ورقه های  $GO$ ، مکان قله های پراشی (۰۰۲) و (۱۰۰) در نمونه های  $RGO$  به سمت زوایای بزرگتر جایه جا شده اند، به طوری که قله ها برای نانو کامپوزیت ( $RGO(400)$ ) به ترتیب در  $2\theta = 43^\circ / 47^\circ$  و  $2\theta = 25^\circ / 58^\circ$  دیده می شوند. کاهش فاصله  $d$ ، ناشی از حذف گروه های فعال اکسیژنی مولکول های آب چون اپوکسی، هیدروکسیل، کربونیل و کربوکسیل بین لایه های کربن اکسید گرافن ( $GO$ ) و در نتیجه کمتر شدن تعداد لایه های اکسید گرافن است. جایه جایی قله ها با کاهش حجم یاخته یکه ساختار شش گوشی همراه است. افزون بر تغییر مکان قله ها با افزایش دمای گرمادهی، قله ها پهن تر نیز می شوند. به طور کلی، رابطه فاصله بین صفحه های با شاخص های میلر ( $hkl$ ) برای ساختار شش گوشی و شرایط برآگ به صورت زیر است.

$$\frac{45 \sin^2 \theta}{a^2} = \frac{1}{d^2} = \frac{4h^2 + hk + k^2}{a^2} + \frac{l^2}{c^2} \quad (5)$$

بر این اساس برای همه نمونه ها، پارامتر شبکه  $a$  از مکان زاویه ای ( $\theta$ ) قله پراشی (۰۰۲) و پارامتر شبکه  $c$  از مکان زاویه ای قله (۰۰۲) به صورت زیر محاسبه شد:

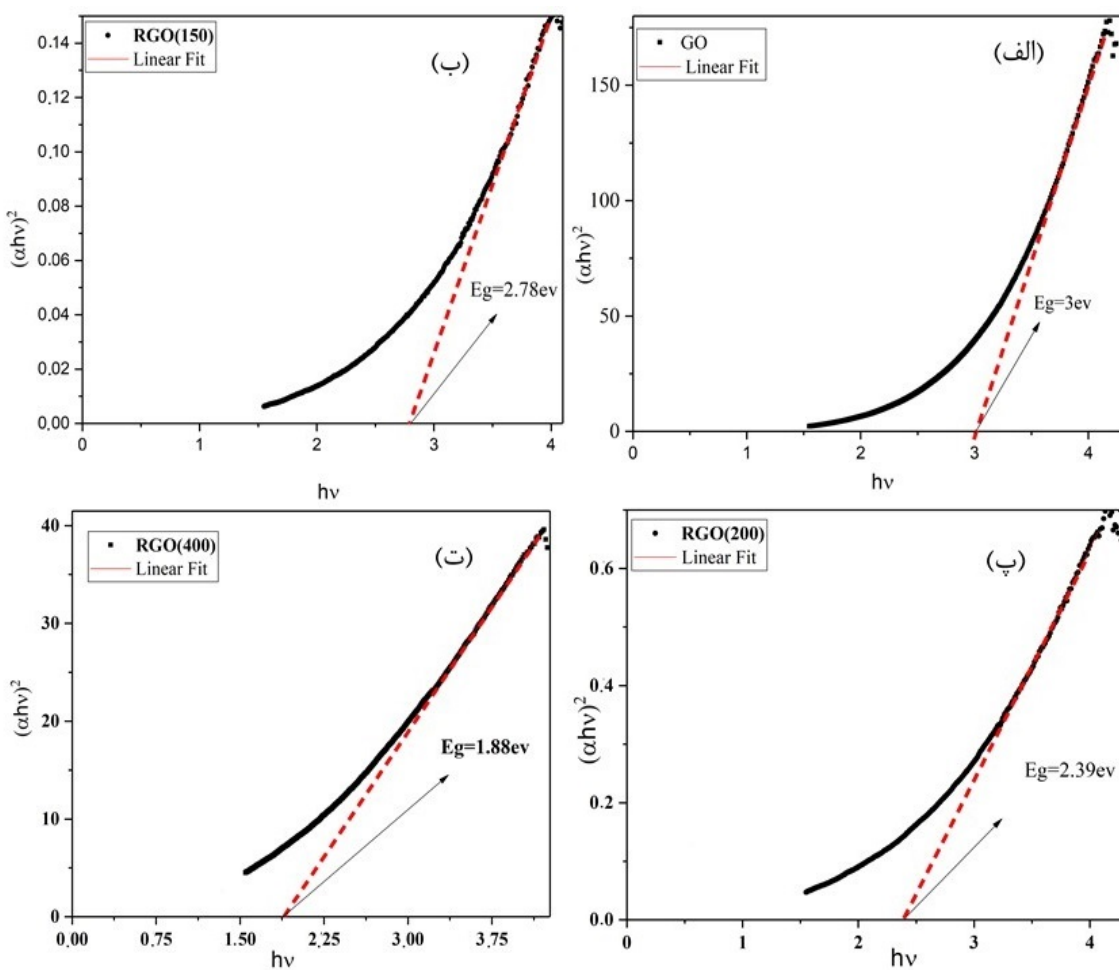
$$a = \frac{\lambda}{\sqrt{35} \sin \theta} \quad (6)$$



شکل ۱ الگوهای  $XRD$  مربوط به  $GO$  و  $GO$  کاهش یافته در دماهای ۱۵۰، ۲۰۰ و  $400^\circ C$ .

جدول ۱ مقادیر پارامترهای شبکه شش گوشی ( $a$  و  $c$ ) و انرژی گاف نواری ( $E_g$ ) مربوط به  $GO$  و  $GO$  کاهش یافته.

انرژی گاف (الکترون ولت)	$a$	$c$	پارامتر شبکه (آنگستروم)	نمونه
۳,۰	۲,۴۷۳	۱۸,۸۰۵		$GO$
۲,۷۸	۲,۴۴۳	۷,۹۱۰		$RGO(150)CO$
۲,۳۸	۲,۳۷۱	۷,۱۴۲		$RGO(200)CO$
۱,۸۸	۲,۳۷۷	۶,۹۶۱		$RGO(400)CO$



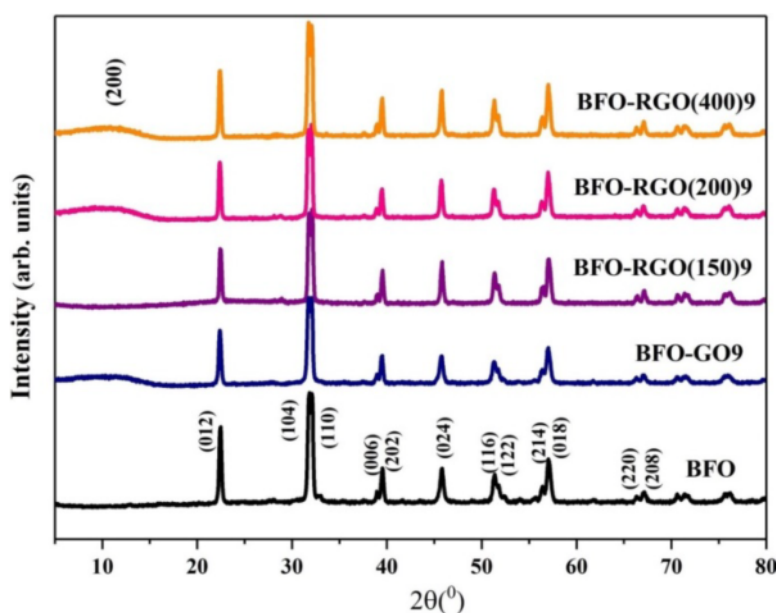
شکل ۲ منحنی  $(ahv)^2$  بر حسب  $h\nu$  برای نمونه‌های (الف)  $GO$  و (ب)  $RGO(150)$  در دمای  $200^{\circ}C$  و (ج)  $RGO(200)$  و (د)  $RGO(400)$  بافت در دمای  $400^{\circ}C$ .

XRD پهن ( $2\theta=10.1^{\circ}$ ) در  $GO$  در الگوهای  $BFO-RGO(200,400)$  نانوکامپوزیت‌های ۹ در  $2\theta=10.1^{\circ}$  در  $GO$  نشان می‌دهد که بخشی از  $GO$  موجود در نانوکامپوزیت دوباره با جذب اکسیژن از پروسکایت  $BiFeO_3$  و آب موجود در اتانول طی سنتز (به دلیل عدم خلوص کافی اتانول) به فاز  $GO$  بازگشته است. به هر حال در شکل ۳، قله پهن ( $20.2^{\circ}$ ) پیرامون  $22^{\circ}$  در الگوهای  $XRD$  نمونه‌های  $BFO-RGO(200,400)$  به دلیل شدت قله‌های  $BiFeO_3$  دیده نمی‌شود. همچنان، نبود قله‌ی پهن ( $20.2^{\circ}$ ) پیرامون  $22^{\circ}$  یا  $2\theta=10.1^{\circ}$  در الگوی  $XRD$  نمونه  $RGO(150)$  می‌تواند به دلیل همگنی خوب این نمونه یا شدت بیشتر قله‌های  $GO$  نسبت به  $RGO(150)$   $BFO$  باشد. اندازه متوسط بلورک‌ها در همه نمونه‌ها که به روش هالدر-واگنر به دست آمد (شکل ۴) در

**مشخصه‌یابی ساختاری**  
**Nano-composite materials**  
**BFO-GO9/RGO9**  
 الگوی  $XRD$  نمونه‌های  $BFO$  و نانوکامپوزیت‌های  $/RGO9$  در شکل ۳ نشان داده شده است. الگوی  $XRD$  نانوکامپوزیت‌های  $BFO-GO9$  با قله‌های پراشی ( $10.1^{\circ}$ ،  $11.0^{\circ}$ ،  $12.2^{\circ}$ ،  $20.2^{\circ}$ ،  $20.4^{\circ}$ ،  $21.4^{\circ}$  و  $22.0^{\circ}$ ) بسیار شبیه نانوذرات  $BiFeO_3$  است [۷]. بررسی‌های ساختاری نمونه‌ها با استفاده از نرم‌افزار  $X-pert$  بیانگر تشکیل ساختار پروسکایت لوزی‌رخ با گروه فضایی  $R\bar{3}c$  است که با مقادیر ثبت شده در کارت استاندارد  $JCPDS$  با شماره  $1-074-2016$  همخوانی دارند. قله پراش  $GO$  در  $BFO-GO9$  در حدود  $2\theta=10.1^{\circ}$  با داده‌های مربوط به اکسید گرافن همخوانی دارد [۲۱]. با توجه به الگوهای  $XRD$  شکل ۳، قله‌ی

شکل ۵ طیف فروسرخ نمونه‌های *BFO* و نانوکامپوزیت‌های *BFO-GO9/RGO9* را در گستره‌ی  $400\text{--}1000\text{ cm}^{-1}$  نشان می‌دهد. بسامدهای ارتعاشی نوارهای جذبی در گستره‌ی  $400\text{--}800\text{ cm}^{-1}$  مربوط به اکسیدهای پایدار است. قله جذب شدید پیرامون  $541\text{ cm}^{-1}$  مربوط به ارتعاش‌های کششی ذاتی اکسیژن - فلز در جایگاه هشت‌وجهی است و قله جذب ضعیف در عدد موج  $446\text{ cm}^{-1}$  متناظر با ساختار لوزی رخ با تقارن پایین‌تر است که به ارتعاش‌های خمشی نامتقارن آهن-اکسیژن از ویژگی‌های هشت‌وجهی گروه  $\text{FeO}_6$  در ساختار پروسکایت مربوط است [۲۴، ۲۵]. بنابراین، تشکیل پیوندهای فلز-آهن ساختار پروسکایت از طیفسنجی *FT-IR* با نتایج به دست‌آمده از بررسی‌های ساختاری الگوهای *XRD* همخوانی دارد. در فرایند قرص‌سازی برای اندازه‌گیری طیف فروسرخ نمونه‌ها به دلیل تاخیر در نتیجه این قله است. همچنین قله پیرامون  $921\text{ cm}^{-1}$  می‌تواند مربوط به دی‌اکسیدکربن باشد [۲۶] که در فرایند قرص‌سازی با *KBr* واکنش داده و در طیف فروسرخ نمونه‌ها به این صورت ظاهر می‌شود.

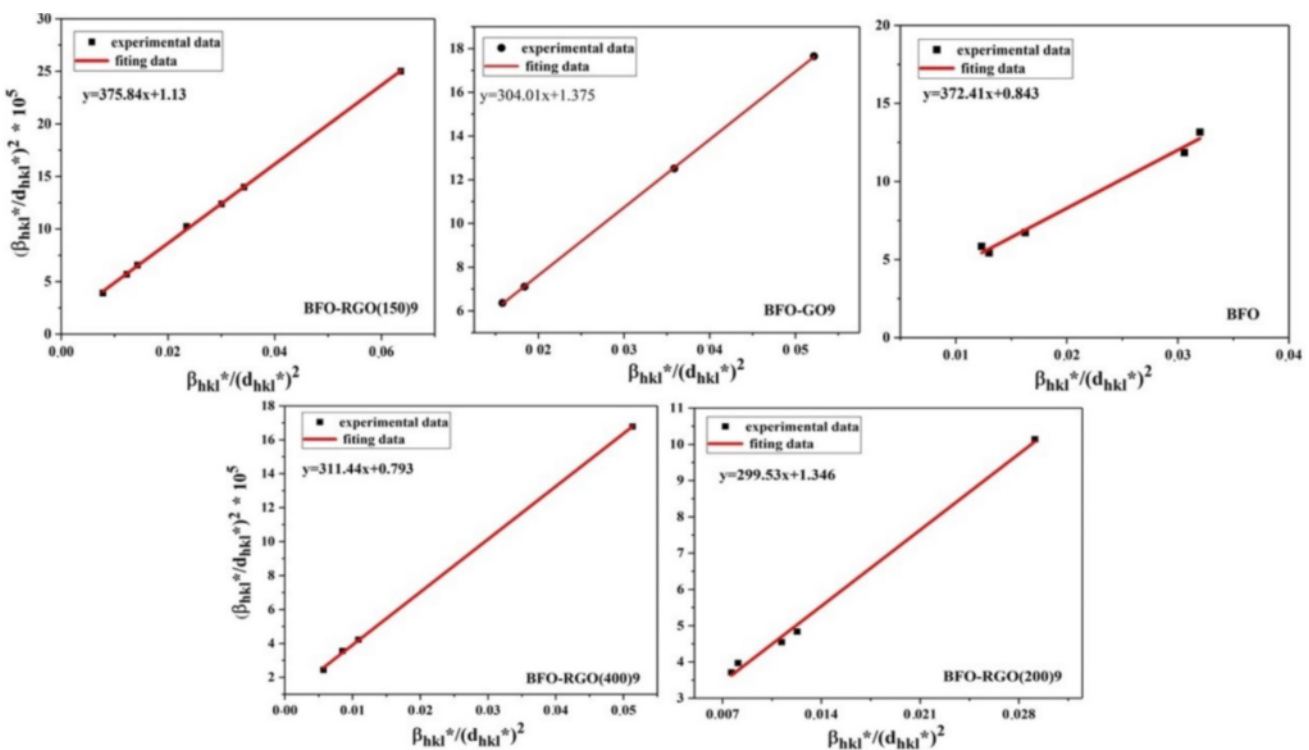
جدول ۲ آورده شده است. افزایش کمی در اندازه بلورک‌ها با دمای گرمادهی *GO* دیده می‌شود. به هر حال، گروه‌های عاملی اسیدی ویژگی قلیایی مخلوط را در فرایند فراصلوتی کاهش می‌دهد که به جداسازی نانوذرات *GO* از لایه‌های *BFO* منجر می‌شود. بنابراین، نانوبلورک‌های *BFO* کوچکتر برای رشد سریع بسبلور با انباست کنار هم تبدیل به هسته‌های بزرگتر می‌شوند [۲۲، ۲۳]. این ممکن است دلیل افزایش اندازه بلورک-ها در نانوکامپوزیت‌های *BFO-GO9* و *BFO-RGO(200)9* *BFO-RGO(400)9* *BFO-RGO(150)9* نسبت به *BFO* باشد. به هر حال، اندازه بلورک‌ها در نمونه *BFO-RGO(150)9* نسبت به *BFO* تغییری نکرده است که می‌تواند ناشی از تشکیل نشدن عامل-های اسیدی در این کامپوزیت باشد. این تفاوت را همچنین می‌توان در نبود قله‌ی پهن ( $10.9^\circ$ ) پیرامون  $2\theta = 10.9^\circ$  در الگوی *XRD* نمونه *BFO-RGO(150)* برخلاف نانوکامپوزیت‌های *BFO-GO9* و *BFO-RGO(200)9* و *BFO-RGO(400)9* *BFO* دید.



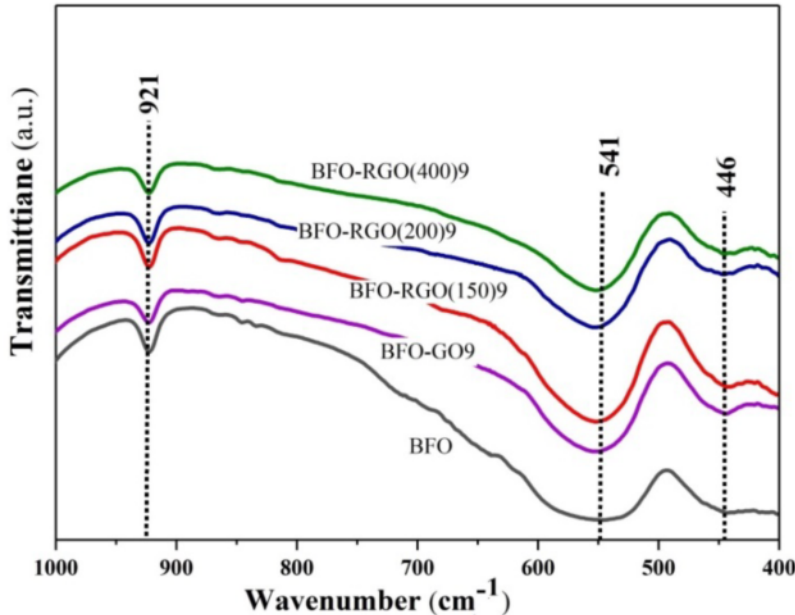
شکل ۳ الگوهای *XRD* نمونه‌های *BFO* و نانو کامپوزیت‌های *BFO-GO9/RGO9*

جدول ۲ اندازه متوسط بلورک‌ها و مقدار میکروکرنش در نانوکامپوزیت‌های *BFO-RGO9* و *BFO* به دست‌آمده به روش هالدر-واگنر

$\xi$	$D_{H-W}$	نمونه
۱,۸۳	۲۶,۸۵	<i>BFO</i>
۲,۲۴	۳۲,۸۹	<i>BFO-GO9</i>
۲,۱۲	۲۶,۶۰	<i>BFO-RGO(150)9</i>
۲,۳۲	۳۳,۳۸	<i>BFO-RGO(200)9</i>
۱,۷۸	۳۲,۱۰	<i>BFO-RGO(400)9</i>



شکل ۴ نمودارهای هالدر- واگنر برای محاسبه اندازه بلورک و میکروکرنش در نانوکامپوزیت‌ها.



شکل ۵ طیف FT-IR نانوکامپوزیت‌ها

ویژگی‌های نوری نانوکامپوزیت‌های *BFO-RGO(400)9*, *(200)9*، *BFO-RGO(150)9* بروندیابی قسمت خطی نمودار  $(ahv)^2$  بر حسب  $h\nu$  به دست آمدند (شکل ۶). چنان که دیده می‌شود، گاف انرژی

ویژگی‌های نوری نانوکامپوزیت‌های *BFO-GO9/RGO9* و *BFO* ویژگی‌های نوری نانوکامپوزیت‌ها بر پایه طیف جذبی آنها در ناحیه مرئی-فرابنفش استفاده بررسی شد. گاف انرژی نمونه‌های- *BFO-RGO-BFO-RGO(150)9* *BFO-GO9* *BFO*

است. این ویژگی به کاهش جذب نور توسط نانوذرات *BFO* برمی‌گردد که در نتیجه، زوج‌های الکترون-حفره کمتری نیز طی فرآیند نوردهی تولید شده [۳۰، ۳۱] و بنابراین فعالیت فتوکاتالیزوری کاهش می‌یابد. بهر حال، اکسایش *RGO(400)* پس از سنتر نمونه‌های نانوکامپوزیت<sup>۹</sup> *BFO-RGO(400)*<sup>۹</sup> منجر به پوشیده شدن سطح کاتالیزور با صفحات *RGO* شده است (اندازه بلورک‌ها در جدول ۲ را ببینید). در اینجا، *RGO(400)*<sup>۹</sup> با گاف نواری *BFO* با ۱/۸۸ eV روى *BFO*(۴۰۰) ۹ قرار گرفته و مانع از عبور نور و رسیدن آن به فتوکاتالیزور شده است که از این رو، عملکرد فتوکاتالیزوری *BFO-RGO(400)*<sup>۹</sup> بسیار کاهش یافته است. بهر حال، اتصال بین *BFO* و *GO9/RGO9* یک ساختار نیمرسانای موضعی را با رسانندگی الکتریکی بر جسته ایجاد می‌کند (شکل ۸). به سبب رسانندگی الکتریکی خوب *GO9* در مقایسه با نمونه‌های *RGO9*، الکترون‌های نوار رسانش *BFO* که از تابش فوتون تولید شده‌اند آسان‌تر به *GO9* منتقل می‌شوند. این امر منجر به کاهش فرآیند بازترکیب الکترون و حفره تولید شده در *BFO-GO9* در مقایسه با نمونه‌های *RGO9* شده و سرانجام فعالیت فتوکاتالیزوری را افزایش می‌دهد.

عملکرد و پایداری فتوکاتالیزور *BFO/GO9* طی دو چرخه نیز بررسی گردید و دیده شد که بازده تخریب پس از دو چرخه استفاده فقط به اندازه دو درصد کاهش یافته است.

#### برداشت

در این پژوهش، مقایسه جامعی بین *BiFeO<sub>3</sub>* و نانوکامپوزیت-های *BiFeO<sub>3</sub>/RGO* از نظر توانایی فتوکاتالیزوری آن‌ها در تخریب محلول آبی متیل اورانز زیر تابش نور مرئی انجام شد. عملکرد فتوکاتالیزوری بسیار خوب نانوکامپوزیت‌های *RGO/BFO* تهیه شده به طور عمده به بهبود جذب نور و افزایش جایگاه‌های فعال کاتالیزوری نسبت داده می‌شود. این بهنوبهی خود بر اساس اتصال شیمیایی *BFO* و *RGO* که منجر به انتقال سریع بار از طریق لایه‌های سطحی، ممانعت از بازترکیب جفت الکترون-حفره تولید شده و اطمینان از در دسترس بودن حامل‌های بار برای کمک به فعالیت کاتالیزوری می‌شوند

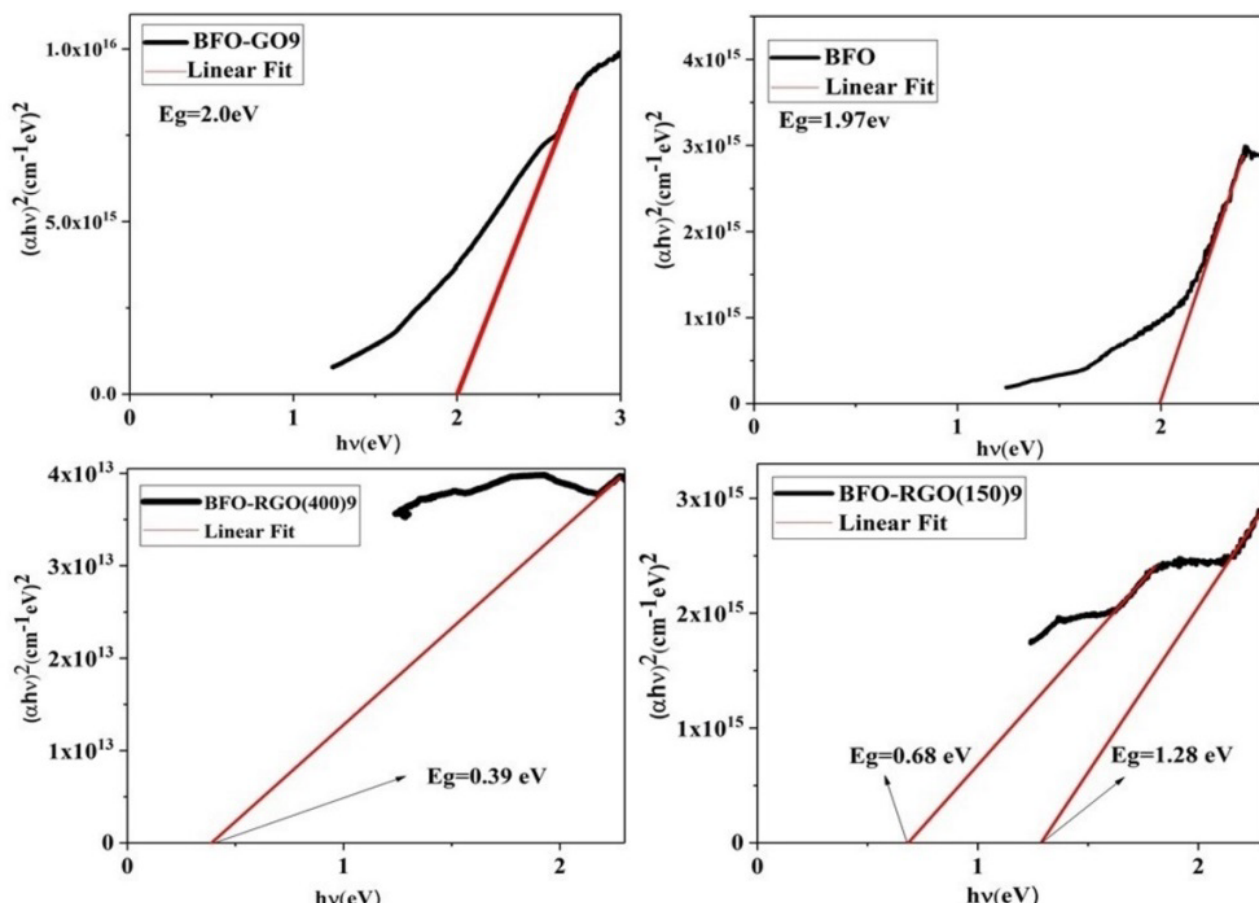
نمونه *BFO* برابر با ۱/۹۴ eV است که با تقویت‌کننده *GO* افزایش یافته و به ۲/۰۴ eV رسیده است. افزایش گاف نواری نانوکامپوزیت *BFO-GO9* را می‌توان به تغییر در ساختار الکترونی اولیه *BFO* ناشی از تقویت‌کننده *GO* نسبت داد. در ادامه، گاف نواری فریت بیسیموت با تقویت‌کننده *RGO* کاهش یافته است که نمی‌تواند به علت کاهش ورقه‌های اکسید گرافن باشد، بلکه به احتمال بسیار ناشی از اکسایش *RGO* و پوشیده شدن سطح فریت بیسیموت با صفحات اکسید گرافن است [۲۷-۲۹]. *RGO(400)* سطح *BFO* را به طور کامل پوشانده و به احتمال بسیار به همین دلیل گاف انرژی-*BFO* *RGO(400)*<sup>۹</sup> از دسترفته است و تنها گاف کوچکی را به اندازه ۳/۹ eV نشان می‌دهد.

**بررسی ویژگی‌های فتوکاتالیزوری *BFO* و *BFO-GO9/RGO9***  
همه آزمون‌های فتوکاتالیزوری مربوط به متیل اورانز برای ۸۰ دقیقه در  $pH=2$  بهینه در حضور نور خورشید و مقدار ۰/۱ گرم نانوکاتالیزور در دمای اتاق انجام شد [۱]. برای همه این آزمایش‌ها، رنگ متیل اورانز با غلظت ثابت ۱۰ ppm به عنوان محلول مادر به کار رفت که در هر آزمایش، مقدار ۶۰ میلی‌لیتر از آن استفاده شد. به این محلول، ۰/۱ گرم کاتالیزور اضافه شد و محلول در معرض نور خورشید قرار گرفت. کارایی تخریب فتوکاتالیزوری نمونه‌ها با استفاده از رابطه (۳) محاسبه شد. غلظت متیل اورانز در بیشترین طول موج ۵۰۴ نانومتر مربوط به بیشینه جذب مشخصه برای متیل اورانز در هر ده دقیقه با طیف سنج *UV-Vis* اندازه‌گیری شد.

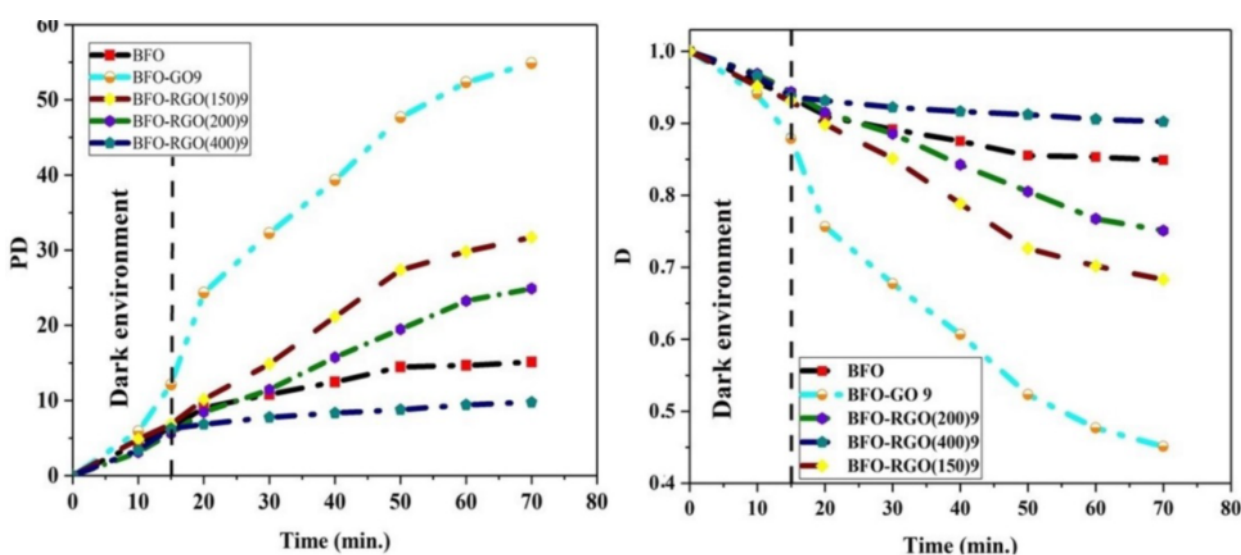
منحنی‌های تخریب فتوکاتالیزوری متیل اورانز در شکل ۷ نشان می‌دهند که ترتیب فعالیت فتوکاتالیزوری به صورت  $>BFO-RGO(200)$ <sup>۹</sup>  $>BFO$   $>BFO-RGO(400)$ <sup>۹</sup>  $>BFO-GO9$   $>BFO-RGO(150)$ <sup>۹</sup> است. بهر حال، هدف از استفاده از اکسید گرافن کاهش یافته در این جا، افزایش سرعت ترابری الکترون پس از تولید الکترون-حفره و افزایش فعالیت فتوکاتالیزوری بوده است. با توجه به نتایج گاف انرژی نمونه‌های *BFO*، *GO* و *RGO*، دیده می‌شود که هرچه اختلاف بین گاف‌های نواری *GO* و *RGO* با نانوذرات *BFO* کاهش یافته جذب نور در گستره مرئی و فرابنفش توسط آن‌ها کمتر شده

حفاظت از محیط زیست فراهم آورد.

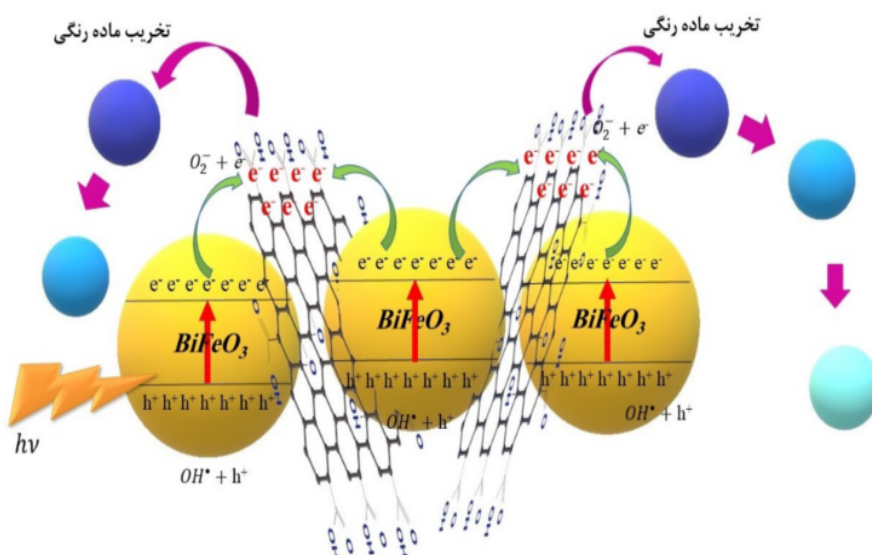
توضیح داده شد. نتایج این پژوهش می‌تواند بینش بهتری در زمینه طراحی فتوکاتالیزورهای پیشرفته برای تصفیه فاضلاب و



شکل ۶ منحنی‌های تاک برای محاسبه گاف انرژی نانوکامپوزیت‌ها.



شکل ۷ منحنی تخریب و درصد تخریب MO توسط نانوکامپوزیت‌ها.



شکل ۸ طرح‌واره‌ای از اتصال بین  $GO$  و  $BFO$  و تشکیل یک ساختار نیمرسانای موضعی.

- [6] Cheong S.W., Mostovoy M., “*Multiferroics: a magnetic twist for ferroelectricity*”, *Nature materials* 6 (2007) 13.
- [7] Naeimi A.S., Dehghan E., Sanavi Khoshnoud D., Gholizadeh A., “*Enhancement of ferromagnetism in Ba and Er co-doped  $BiFeO_3$  nanoparticles*”, *Journal of Magnetism and Magnetic Materials* 393 (2015) 502–507.
- [8] Rezayi M., Sanavi Khoshnoud D., Dehghan E., “*Study of structural and magnetic properties Bismuth ferrite nano particles with dual substitution of La and Ba*”, *Iranian Journal of Crystallography and Mineralogy* 24 (2019) 563–572.
- [9] Gholizadeh A., Malekzadeh A., Pourarian F., “*Rapid and efficient synthesis of reduced graphene oxide nano-sheets using CO ambient atmosphere as a reducing agent*”, *Journal of Materials Science: Materials in Electronics* 29 (2018) 19402–19412.
- [10] Marcano D. C., Kosynkin D. V., Berlin J. M., Sinitskii A., Sun Z., Slesarev A., Alemany L.B., Lu W., Tour J. M., “*Improved synthesis of graphene oxide*”, *ACS nano* 4 (2010) 4806–4814.
- [11] Motevalizade L., Sepahvand F., “*Study effect of annealing temperature on microstrains of tin oxide nano particles prepared by sol-gel method*”, *Iranian Journal of Crystallography and Mineralogy* 24 (2019) 493–502.

#### مراجع

- [1] Esmaeli L., Gholizadeh A., “*The effect of temperature and amount of Bismuth (III) nitrate on structural, magnetic and photocatalytic properties of bismuth ferrite*”, *Iranian Journal of Crystallography and Mineralogy* 26 (2019) 1013–1026.
- [2] Soleimani F., Salehi M., Gholizadeh A., “*Comparison of visible light photocatalytic degradation of different pollutants by  $(Zn, Mg)_x Cu_{1-x} Bi_2 O_4$  nanoparticles*”, *Ceramics International* 45 (2019) 8926–8939.
- [3] Gholizadeh A., Abharya A., “*Structural, optical and magnetic feature of core-shell nanostructured  $Fe_3O_4@GO$  in photocatalytic activity*”, *Iranian Journal of Chemistry and Chemical Engineering, Articles in Press, Accepted Manuscript Available Online from 12 February 2019*.
- [4] Li Y., Zhao J., Zhang G., Zhang L., Ding S., Shang E., Xia X., “*Visible-light-driven photocatalytic disinfection mechanism of  $Pb-BiFeO_3/rGO$  photocatalyst*”, *Water Research* 161 (2019) 251–261.
- [5] Vopson M.M., “*Fundamentals of multiferroic materials and their possible applications*”, *Critical Reviews in Solid State and Materials Sciences* 40 (2015) 223–250.

- oxide/metal nanocomposites”, Journal of Applied Physics* 113 (2013) 17B525.
- [21] Dai J. F., Xian T., Di L.J., Yang H., “*Preparation of BiFeO<sub>3</sub>-graphene nanocomposites and their enhanced photocatalytic activities*”, *Journal of Nanomaterials* 6 (2013) 1-5.
- [22] Si Y., Xia Y., Shang S., Xiong X., Zeng X., Zhou J., Li Y., “*Enhanced visible light driven photocatalytic behavior of BiFeO<sub>3</sub>/reduced graphene oxide composites*”, *Nanomaterials* 8 (2018) 526-542.
- [23] Li P., Chen Q., Lin Y.Y., Chang G., He Y.B., “*Effects of crystallite structure and interface band alignment on the photocatalytic property of bismuth ferrite/(N-doped) graphene composites*”, *Journal of Alloys and Compounds* 672 (2016) 497–504.
- [24] Gholizadeh A., “*The effects of A/B-site substitution on structural, redox and catalytic properties of lanthanum ferrite nanoparticles*”, *Journal of Materials Research and Technology* 8 (2019) 457-466.
- [25] Gholizadeh A., “*La<sub>1-x</sub>Ca<sub>x</sub>Co<sub>1-y</sub>Mg<sub>y</sub>O<sub>3</sub> nanopеровскites as CO oxidation catalysts: Structural and catalytic properties*,” *Journal of the American Ceramic Society* 100 (2017) 859–866.
- [26] Duan Q., Kong F., Han X., Jiang Y., Liu T., Chang Y., Zhou L., Qin G., Zhang X., “*Synthesis and characterization of morphology-controllable BiFeO<sub>3</sub> particles with efficient photocatalytic activity*”, *Materials Research Bulletin* 112 (2019) 104-108
- [27] Shang E., Li Y., Niu J., Li S., Zhang G., Wang X., “*Photocatalytic degradation of perfluorooctanoic acid over Pb-BiFeO<sub>3</sub>/rGO catalyst: Kinetics and mechanism*”, *Chemosphere* 211 (2018) 34-43.
- [28] Emamdst A., Fargami Shayeste S., Marandi M., “*Synthesis and investigation of optical and structural properties of nano particles core/shell ZnS/CdS*”, *Iranian Journal of Crystallography and Mineralogy* 21 (2019) 657-664.
- [29] Reddy C.V., Shim J., Cho M., “*Synthesis, structural, optical and photocatalytic properties of CdS/ZnS core/shell nanoparticles*”, *Journal of*
- [12] Gholizadeh A., Jafari E., “*Effects of sintering atmosphere and temperature on structural and magnetic properties of Ni-Cu-Zn ferrite nanoparticles: Magnetic enhancement by a reducing atmosphere*”, *Journal of Magnetism and Magnetic Materials* 422 328–36 (2017).
- [13] Mahmoudi S., Gholizadeh A., “*Effect of non-magnetic ions substitution on the structure and magnetic properties of Y<sub>3-x</sub>Sr<sub>x</sub>Fe<sub>5-x</sub>Zr<sub>x</sub>O<sub>12</sub> nanoparticles*”, *Journal of Magnetism and Magnetic Materials* 456 (2018) 46–55.
- [14] Gholizadeh A., Malekzadeh A., Ghiasi M., “*Structural and magnetic features of La<sub>0.7</sub>Sr<sub>0.3</sub>Mn<sub>1-x</sub>Co<sub>x</sub>O<sub>3</sub> nano-catalysts for ethane combustion and CO oxidation*”, *Ceramics International* 42 (2016) 5707–17.
- [15] Gholizadeh A., “*A comparative study of physical properties in Fe<sub>3</sub>O<sub>4</sub> nanoparticles prepared by coprecipitation and citrate methods*”, *Journal of the American Ceramic Society* 100 (2017) 3577-3588.
- [16] Khedri H., Gholizadeh A., Malekzadeh A., “*Effect of annealing temperature on structural, optical and catalytic properties of Cu-Zn ferrite nanoparticles*”, *Iranian Journal of Crystallography and Mineralogy* 24 (2016) 297-308.
- [17] Gholizadeh A., Tajabor N., “*Influence of N<sub>2</sub>-and Ar-ambient annealing on the physical properties of SnO<sub>2</sub>:Co transparent conducting films*”, *Materials Science in Semiconductor Processing* 13 (2010) 162.
- [18] Pawar R.C., Lee C.S., “*Sensitization of CdS nanoparticles onto reduced graphene oxide (RGO) fabricated by chemical bath deposition method for effective removal of Cr (VI)*”, *Materials Chemistry and Physics* 141 (2013) 686-693 .
- [19] Wang Y., Liu J., Liu L., Sun D.D., “*High-quality reduced graphene oxidenanocrystalline platinum hybrid materials prepared by simultaneous co-reduction of graphene oxide and chloroplatinic acid*”, *Nanoscale Research Letters* 6 (2011) 241-249 .
- [20] Sahoo P.K., Panigrahy B., Li D., Bahadur D., “*Magnetic behavior of reduced graphene*

- [31] Soltani T., Lee B.-K., “*Sono-synthesis of nanocrystallized BiFeO<sub>3</sub>/reduced graphene oxide composites for visible photocatalytic degradation improvement of bisphenol A*”, Chemical Engineering Journal 306 (2016) 204–213.
- Physics and Chemistry of Solids 103 (2017) 209-217.
- [30] Zou C., Liu S., Shen Z., Zhang Y., Jiang N., Ji W., “*Efficient removal of ammonia with a novel graphene-supported BiFeO<sub>3</sub> as a reusable photocatalyst under visible light*”, Chinese Journal of Catalysis 38 (2017) 20-28.